

С - 473

ОБЪЕДИНЕННЫЙ ИНСТИТУТ ЯДЕРНЫХ ИССЛЕДОВАНИЙ
ЛАБОРАТОРИЯ ВЫСОКИХ ЭНЕРГИЙ

1 - 8756

СЛЕПЕЦ
Людмила Андреевна

УПРУГОЕ π^- ${}^4\text{He}$ -РАССЕЯНИЕ НА МАЛЫЕ УГЛЫ
ПРИ 3,48 И 6,13 ГЭВ/С

Специальность 01.04.01 - экспериментальная физика

Автореферат диссертации на соискание ученой степени
кандидата физико-математических наук

(Диссертация написана на русском языке)

Дубна 1975

Работа выполнена в Лаборатории высоких энергий
Объединенного института ядерных исследований.

Научный руководитель:
доктор физико-математических наук Л.Н.Струнов.

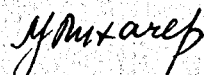
Официальные оппоненты:
доктор физико-математических наук В.С.Мурzin,
кандидат физико-математических наук В.Г.Гришин.

Ведущее научно-исследовательское учреждение:
Институт физики высоких энергий, г. Серпухов.

Автореферат разослан " " 1975 г.
Защита состоится " " 1975 г. в " час.
на заседании Ученого совета Лаборатории высоких энергий
Объединенного института ядерных исследований (г.Дубна,
Московской области).

С диссертацией можно ознакомиться в библиотеке
Объединенного института ядерных исследований.

Ученый секретарь Совета
кандидата физико-математических наук

 М.Ф.Лихачев

1 - 8756

СЛЕПЕЦ
Людмила Андреевна

УПРУГОЕ π^- ${}^4\text{He}$ -РАССЕЯНИЕ НА МАЛЫЕ УГЛЫ
ПРИ 3,48 И 6,13 ГЭВ/С

Специальность 01.04.01 - экспериментальная физика

Автореферат диссертации на соискание ученой степени
кандидата физико-математических наук

(Диссертация написана на русском языке)

Знание амплитуд упругих адронных процессов необходимо для проверки и дальнейшего развития теории сильных взаимодействий, а вместе с этим и для проверки и установления границ применимости фундаментальных физических принципов: причинности, унитарности, лоренци-инвариантности, аналитичности, на которых основываются и квантовая теория поля, и дисперсионные соотношения, и теория комплексных моментов. В настоящее время теоретические соотношения и утверждения принимают характер асимптотических теорем, точные критерии, как правило, указать не удается в силу невозможности пока полностью описать явления. Тем существеннее и важнее проявляется роль эксперимента в изучении взаимодействий элементарных частиц при высоких энергиях.

Информацию о структуре амплитуды упругого πN -рассеяния можно получить несколькими способами. Например, при малых энергиях это можно сделать методом фазового анализа. Он имеет много достоинств, однако практически неприменим при высоких энергиях.

Можно описать амплитуду πN -рассеяния методом амплитудного анализа в результате проведения так называемого полного опыта, заключающегося в измерении дифференциальных сечений, поляризации, параметров вращения спина R и A в реакциях $\pi^{\pm}p \rightarrow \pi^{\pm}p$, $\pi^0p \rightarrow \pi^0p$. Однако путь этот сложен, точности измерения поляризационных параметров еще невысоки и поставленная цель не достигнута. Недостатком этого метода является невозможность определений общего фазового фактора для всех составляющих πN -амплитуды. Его можно определить в опытах по кулоновской интерференции, изучая упругое рассеяние пионов на протонах или ядрах, а также по интерференции кратных рассеяний пионов на нуклонах ядра.

Пожалуй, самый простой путь получения информации о модулях и фазах зависящей и не зависящей от спина частей πN -амплитуды – это совместный анализ данных по упругому $\pi^{\pm}p$ -рассеянию и рассеянию пионов на бесспиновых ядрах. Однако по этому пути пройдено самое короткое расстояние. Как один из первых шагов можно рассматривать результаты работ, представляемых в диссертации и содержащихся в публика-

циях^{1,2,3,4/}. В них изучалось рассеяние пионов на бесспиновом ядре ${}^4\text{He}$ с целью получения данных о бесспиновой части амплитуды упругого πN -рассеяния и эквивалентном радиусе ядра. В методическом смысле ядро ${}^4\text{He}$ удобно тем, что в связанном состоянии не имеет возбужденных уровней.

В первой главе коротко описывается дифракционная теория рассеяния Глаубера^{5/}, ее некоторые экспериментальные приложения и обзор экспериментальных работ по упругому рассеянию пионов на легких ядрах.

Модель Глаубера справедлива в области малых переданных импульсов и исходит из многократности соударений частицы внутри ядра, предполагая аддитивность разностей фаз упругих рассеяний на отдельных нуклонах. Амплитуды рассеяний разных кратностей интерферируют, образуя в угловых распределениях максимумы и минимумы, положение которых определяется радиусом ядра.

Эта модель дает описание рассеяния адронов на ядрах через параметры элементарных амплитуд и формфактор ядра. Таким образом, можно получить информацию об амплитудах адрон-адронных взаимодействий и о структуре ядра из данных по рассеянию адронов на ядрах.

Экспериментальная ситуация характеризуется большим методическим разнообразием, но наибольший удельный вес принадлежит электронным методам детектирования рассеянной частицы или частиц рассеянной и отдачи.

В области малых переданных импульсов экспериментальные данные практически отсутствуют. Пожалуй, только в одной работе Гобби и др.^{6/} изучалось рассеяние частиц на ${}^{12}\text{C}$ на малые углы, но из-за низкого энергетического разрешения не были идентифицированы процессы с возбуждением ядра.

Опыты по рассеянию пионов на дейtronах выполнены в области энергий $0,9 \pm 15$ ГэВ в диапазоне передач $0,165 \leq |t| \leq 2,28$ ($\text{ГэВ}/c$)^{2/7/}. В этих опытах наблюдается хорошее согласие с теорией Глаубера до значений $|t| \approx 0,7 \pm 0,8$ ($\text{ГэВ}/c$)², расхождение при $|t| > 0,8$ ($\text{ГэВ}/c$)² пока определенного объяснения не имеет. Все работы характеризуются абсолютной точностью измерений $15\% \pm 20\%$, статистические ошибки $3\% \pm 19\%$.

По упругому $\pi {}^4\text{He}$ -рассеянию есть две работы: при $1,25$ ($\text{ГэВ}/c$)^{8/} и $7,76$ ($\text{ГэВ}/c$)^{9/}. Измерения проводились в области передач $0,15 \leq |t| \leq 0,5$ ($\text{ГэВ}/c$)² в ^{8/} и при $0,05 \leq |t| \leq 0,5$ ($\text{ГэВ}/c$)² в ^{9/}. Данным обеих ра-

бот присущи большие ошибки, и поэтому физические выводы носят качественный характер.

В заключение можно сказать, что модель Глаубера является оригинальным аппаратом для изучения свойств элементарных процессов и структуры ядра, представляющим иногда уникальные возможности, например, получение информации о спиновой зависимости амплитуды упругих процессов, ее фазе, зависимости фазы от t и т.д. Эти возможности, несомненно, надо реализовать, залогом успеха в этом направлении является повышение точности измерений.

Во второй главе речь идет об экспериментальной установке, ее работе и системе контроля.

Экспериментальная установка показана на рис.1. В качестве мишени-детектора служила камера Вильсона $50 \times 50 \times 50$ см³, помещенная в магнитное поле. В работе использовалась методика детектирования частицы отдачи. Суть ее состоит в том, что камера, работая с пониженным коэффициентом расширения, регистрирует лишь сильноионизующие α -частицы отдачи малой энергии и мало чувствительна к высокоэнергичным частицам, позволяя тем самым работать с пионным пучком большой интенсивности ($5 \cdot 10^4$ частиц/цикл.).

Альфа-частицы отдачи, явившиеся результатом упругого $\pi {}^4\text{He}$ -рассеяния в камере, регистрировались фотографическим методом, а мониторирование пучка осуществлялось мониторирующей системой, состоящей из фотоэмульсий и электронного монитора.

Съемка треков производилась стереокамерой ЛИТМО с тремя объективами "Рускар-плазмат БВ" через толстое камерное стекло. Объективы были рассчитаны так, что преломления, испытываемые лучом света в камерном и прижимных стеклах, были взаимно скомпенсированы.

Как известно, при спектрометрировании быстрых рассеянных частиц для получения хорошего t -разрешения $\Delta t = 2K_0\theta d\theta$ необходимы высокие точности измерения углов θ , возрастающие с ростом импульса K_0 . Жестче становятся и требования к импульсному анализу.

При спектрометрировании же частицы отдачи, разрешение по t практически не зависит от энергии налетающей частицы. Импульс частицы отдачи довольно точно определяется по пробегу, обеспечивая в нашем случае разрешение $\Delta t \approx 1,5 \cdot 10^{-3}$ ($\text{ГэВ}/c$)². Явное преимущество этого метода проявляется в исследовании упругого рассеяния на ядрах, т.к. практически только так можно дискриминировать события с развалом ядра и его возбуждением.

Рис.1.
Схема экспериментальной установки и камерный снимок с медленными альфа-частицами отдачи на фоне бледной туманной полосы пучка.

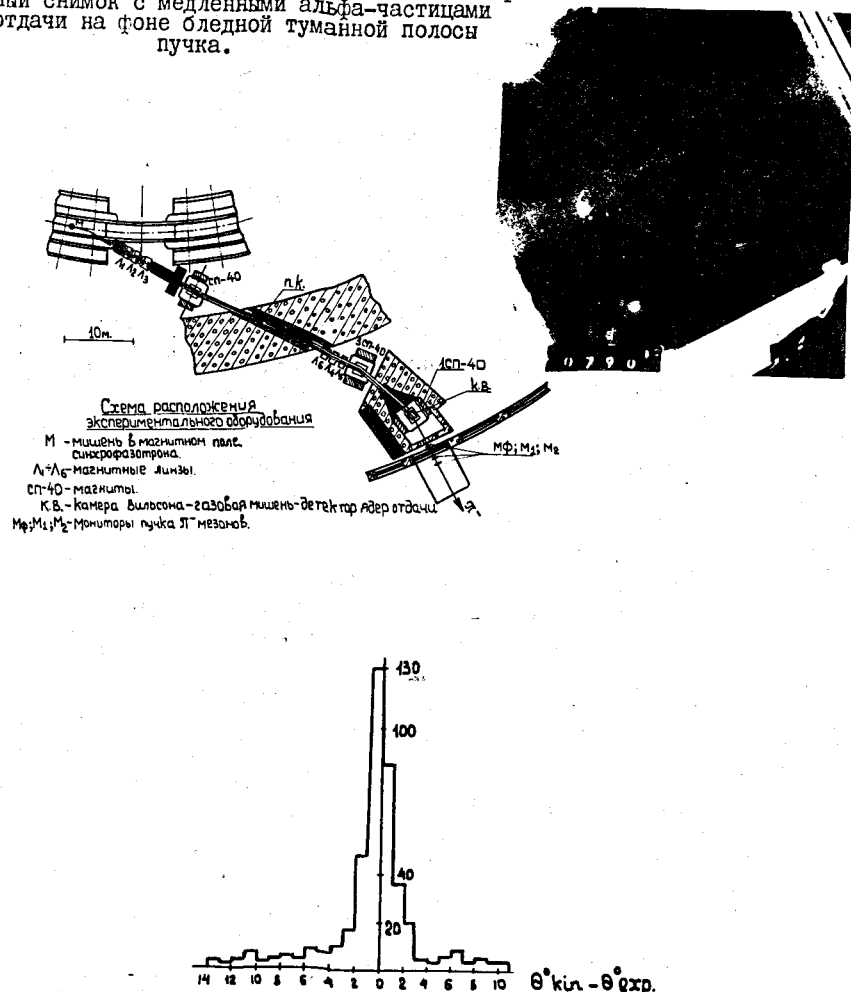


Рис.2. Распределение разностей измеренных и кинематически соответствующих импульсу углов вылета альфа-частиц отдачи в интервале переданных импульсов 135-155 МэВ/с.

В главе третьей подробно излагается методика измерения потока пионов, абсолютная величина которого регистрировалась фотомультилиями. Для определения доли потока, приходящейся на нерабочие кадры, использовалась информация интегрального электронного монитора об интенсивности пучка в каждом отдельном импульсе. Подробно обсуждаются источники погрешностей и сделаны их оценки. Точность измерения потока при 3,48 ГэВ/с составляет менее 3%, при 6,13 ГэВ/с - 13,8 %.

Одной из методических проблем было определение состава газовой смеси, наполняющей камеру. Дело в том, что из-за диффузии воздуха через диафрагму и майларовые окна количественное соотношение между составными частями газовой смеси, состоящей из гелия, паров воды и продиффундированного воздуха, изменялось во времени. Эти изменения не привели к значительному изменению плотности гелия в камере, однако существенно отразились на тормозной способности газовой смеси. Поэтому весь полученный экспериментальный материал был поделен на несколько частей, для каждой из которых были определены свои тормозные параметры в зависимости от состава смеси.

Метод определения этого состава основан на пропорциональности количества звезд, имеющих более двух черных лучей, количеству атомов с $Z > 2$. Звезды на фотопленке свидетельствуют о неупругих соударениях пионов с ядрами типа ядер кислорода, приведших к развалу этих ядер.

Плотность гелия была определена с точностью 1,5% при 3,48 ГэВ/с и 2,1% при 6,13 ГэВ/с. Парциальное давление воздуха составляло $(2,7 \pm 0,4)\%$ при 3,48 ГэВ/с ($2,7 \pm 1,6\%$) при 6,13 ГэВ/с.

В четвертой главе излагается методика обработки трекового материала. Описывается метод просмотра стереоснимков, критерий отбора следов остановившихся в камере частиц. Эффективность двухкратного просмотра 99,5% - 100%.

Измерялись треки на полуавтомате ИУОС, данные измерений поступали на ЭВМ "Минск-2", а затем передавались на БЭСМ-4, где записывались на магнитную ленту.

В результате обработки треков на ЭВМ БЭСМ-4 по программе "Треки-2" мы получали информацию об импульсе P и угле вылета альфа-частицы отдачи θ относительно направления пучка пионов, их ошибки и ряд промежуточных дополнительных данных. Знание P и θ необходимо и достаточно для идентификации упругих событий по кинематике.

Для определения угла θ необходимо знать направление пучка в каждой точке рабочего объема камеры. Оно было определено модельным

способом с точностью $\pm 0,3^{\circ}$, для чего использовались тректории пин-нов, полученные при облучении камеры в обычном режиме работы пучком малой интенсивности.

Для вычисления параметров следа альфа-частицы программа "Треки-2" использует уравнение движения заряженной частицы в магнитном поле с учетом торможения, описываемого выражением Бете¹⁰. Однако частью работы этой программы по определению импульса не пришлось воспользоваться, т.к. формула Бете перестает быть правильной, когда скорость частицы сравнивается со скоростью электронов атомов среды. Если альфа-частица движется в ${}^4\text{He}$, то это случается при ее импульсе $P_{\min} \approx 55 \text{ МэВ/с}$, при котором ее пробег составлял 1 см в условиях нашего опыта^{*)}). Поэтому нам пришлось использовать эмпирически модифицированную формулу Бете¹¹, хорошо описывающую тормозные потери и при малых энергиях. По техническим причинам ее нельзя было вставить в программу "Треки-2", поэтому дополнительно была написана программа для вычисления зависимости пробег-импульс по модифицированной формуле и импульс частицы отдачи переопределялся потом при помощи этой зависимости по пробегу, вычисленному программой "Треки-2". Неправильность вычисления импульса по этой программе практически не сказывалась на значении угла и его ошибки.

При работе программы "Треки-2" на разных ее этапах вступала в действие вспомогательная, регулирующая и управляющая программа "Кинематический анализ". Она проверяла соответствующие критерии в процессе счета и в соответствии с выполнением или невыполнением их продолжала или прерывала обсчет события. В результате сократилось счетное время на ЭВМ более чем в 3 раза и существенно облегчились обработка счетного материала.

В этой же главе приведен подробный анализ и оценки погрешностей определяемых параметров. Проанализирована зависимость точности определения импульса Р альфа-частицы отдачи от погрешности измерения ее прооекта, проведено сравнение вычислений по обычной и модифицированной формулам Бете^{10,11}, оценено влияние точности последней на точность определения Р, исследована зависимость пробег-импульс

^{*)} Этой проблеме не существовало в опытах по упругому Π^- -рассеянию¹², т.к. при P_{\min} протон в водороде имел пробег 1 мм, что меньше ошибки его измерения.

при различном процентном содержании воздуха в газовой смеси камеры и влияние погрешности в определении количества воздуха на ошибку импульса, оценены статистически флуктуации потерь энергии альфа-частицей.

Сделан анализ и оценки всех ошибок в определении угла альфа-частицы отдачи: ошибки измерений и неточности идентификации точки взаимодействия, погрешности, вызванной ошибкой импульса, ошибок, обусловленных однократным и многократным рассеянием. Учтена неопределенность направления пучковых пин-нов.

Разрешение по t составляет $0,8 \cdot 10^{-3} - 2,65 \cdot 10^{-3} (\text{ГэВ/с})^2$ в зависимости от переданного импульса при $3,48 \text{ ГэВ/с}$ и $1,15 \cdot 10^{-3} - 2,9 \cdot 10^{-3} (\text{ГэВ/с})^2$ при $6,13 \text{ ГэВ/с}$ *).

Среднеквадратичная ошибка угла вылета альфа-частицы составляет $2,5^{\circ} - 1^{\circ}$ в зависимости от импульса. На рис.2 представлено одно из распределений разностей измеренных и кинематически соответствующих импульсу углов вылета альфа-частиц отдачи. Оно демонстрирует качество выделения упругих событий. Ширина пика, представляющего упругие события, находится в соответствии с оценками возможных ошибок в определении угла.

Шестая глава посвящена результатам исследования упругого Π^- -рассеяния. Получены они на статистическом материале 2450 и 400 упругих событий при $3,48$ и $6,13 \text{ ГэВ/с}$ соответственно.

Измерения проводились в области квадратов переданных четырехмерных импульсов $0,0056 \leq |t| \leq 0,0087 (\text{ГэВ/с})^2$ при $3,48 \text{ ГэВ/с}$ и $0,0056 \leq |t| \leq 0,0462 (\text{ГэВ/с})^2$ при $6,13 \text{ ГэВ/с}$.

Качество выделения упругих событий показано на рис.2. Соотношение эффект-фон $\sim 13/1$. Фон изотропен. Обсуждаются его источники (нейтронь, испарительные процессы, когерентное рождение, квазиупругие процессы, примесь $\Pi^- p \rightarrow \Pi^- p$), делаются оценки и приведен метод учета фона.

Измеренные дифференциальные сечения показаны на рис.3 (систематические ошибки составляют 3,3% при $3,48 \text{ ГэВ/с}$ и 14% при $6,13 \text{ ГэВ/с}$, статистические ошибки указаны на рисунке). Они хорошо согла-

^{*)} Худшее разрешение при $6,13 \text{ ГэВ/с}$ обусловлено большей неопределенностью содержания воздуха в газе камеры.

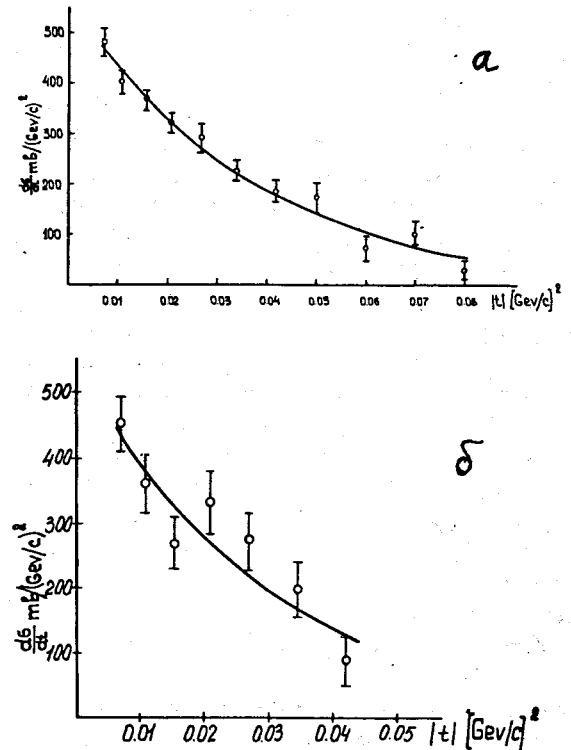


Рис.3. Дифференциальные сечения упругого π^- - ${}^4\text{He}$ -рассеяния при 3,48 ГэВ/с (а) и при 6,13 ГэВ/с (б). Кривые рассчитаны по модели Глаубера.

сяются с экспоненциальной аппроксимацией $d\sigma/dt = A \exp Bt$. При 3,48 ГэВ/с параметр наклона дифракционного пика π^- - ${}^4\text{He}$ -рассеяния есть $B = (27,9 \pm 2,0)$ (ГэВ/с)⁻². Используя модель поглощающей черной сферы, мы получили эквивалентный радиус ядра ${}^4\text{He}$ $R_3 = 2\hbar c\sqrt{B} = (2,08 \pm 0,07)F$, что находится в соответствии с данными по рассеянию электронов: $R_3 = 1,31 A^{1/3} {}^4\text{He} = (2,079 \pm 0,042)F^{1/3}$. Это соответствие свидетельствует об одинаковом распределении в ядре плотности вещества и заряда. Измерено полное сечение упругого π^- - ${}^4\text{He}$ -рассеяния при 3,48 ГэВ/с. Его величина $\sigma_{tot} = (20,2 \pm 1,8)$ мб хорошо согласуется с расчетами по модели Глаубера.

Анализируя дифференциальные сечения упругого π^- - ${}^4\text{He}$ -рассеяния в рамках модели Глаубера^[15], мы пришли к выводу о согласии экспериментальных данных с этой моделью. Впервые были получены значения параметра наклона бессpinовой части амплитуды упругого πN -рассеяния

$$\begin{aligned} b &= (6,41 \pm 2,09) (\text{ГэВ/с})^{-2} \text{ при } 3,48 \text{ ГэВ/с } (\chi^2 = 7,43, n-1 = 8), \\ b &= (12,9 \pm 6,2) (\text{ГэВ/с})^{-2} \text{ при } 6,13 \text{ ГэВ/с } (\chi^2 = 6,97, n-1 = 4). \end{aligned}$$

В диссертации излагается теоретическая и экспериментальная ситуация, сложившаяся при изучении параметра наклона $b(E)$ дифракционного конуса в упругом Пр-рассеянии, и делается сравнение полученного значения параметра наклона бессpinовой амплитуды упругого Пр-рассеяния с имеющимися экспериментальными данными и теоретическими моделями.

На рис.4 приведены экспериментальные значения параметра наклона $b = (b_{\pi p} + b_{\pi p})/2$, полученные в опытах по упругому Пр-рассеянию, и определенный нами параметр наклона только бессpinовой части амплитуды этого процесса при 3,48 ГэВ/с. На этом же рисунке показана кривая, рассчитанная по модели Лазинского и др.^[16].

Модель исходит из предположения о том, что амплитуды упругих процессов являются линейными суперпозициями резонансных и дифракционных амплитуд. Резоны определяют структуру в поведении $b(E)$ при энергиях меньше 3 ГэВ, а дифракционный фон, возрастающий с энергией, обеспечивает сужение дифракционного пика.

Кривая на рис.4 есть результат модельного расчета, не учитывающего спинового и резонансного вкладов. Наши данные согласуются с этим расчетом.

Качественное согласие получено и с трехполюсной реджевской моделью Чу, Филлипса и Рарита^[17].

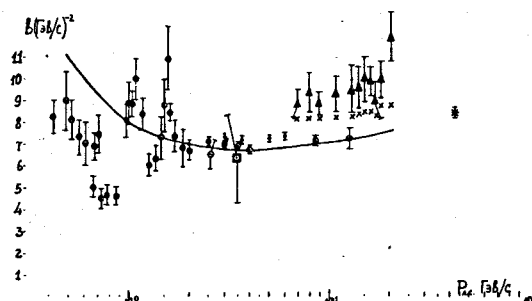


Рис.4

Зависимость параметра наклона амплитуды упругого πN -рассеяния $b = (\beta_{\pi\rho} + \beta_{\pi\rho})/2$ от импульса налетающего pione $R_{\text{л.с.}}$. Кривая рассчитана по модели Лазинского и др.^{/16/} без учета спиновой зависимости и резонансных вкладов в амплитуду. \circ - данные из компиляции Лазинского и др.^{/16/}, \bullet - данные^{/18/}, \blacktriangle - данные группы Линденбаума^{/19/}, \times - данные^{/19/}, обработанные Хёллером и др.^{/20/}, $*$ - данные Серпухова^{/21/}, \blacksquare - данные нашей работы.

Сравнение полученного нами параметра наклона бесспиновой части амплитуды упругого Пр-рассеяния с экспериментальными данными по параметру наклона всей амплитуды упругого Пр-рассеяния показывает, что в пределах ошибок наклон бесспиновой амплитуды меньше наклона полной амплитуды или сравним с ним. Однако строгое количественное сравнение сделать не удалось, т.к. имеющиеся данные по упругому Пр-рассеянию в области энергий нашего эксперимента, 3-4 ГэВ, относятся к интервалу несколько больших переданных импульсов.

Основные результаты и выводы диссертации могут быть сформулированы следующим образом:

1. Представлена методика обработки данных на всех этапах эксперимента по упругому $\pi^4\text{He}$ -рассеянию на малые углы, выполненного с

помощью камеры Вильсона, работавшей в специальном режиме. Именно методика:

- а) просмотра стереоснимков, измерений, обсчета треков и идентификации упругих событий;
- б) определения потока пиона и состава наполняющей камеру газовой смеси; оценок их погрешностей;
- в) определения импульса альфа-частицы отдачи по ее пробегу в смеси газов при помощи модифицированной формулы Бете^{/11/};
- г) анализа и оценок ошибок импульса и угла вылета альфа-частицы;
- д) оценок и учета фона;
- е) обработки полученных данных по методу наименьших квадратов с целью определения искомых физических параметров.

2. Измерены дифференциальные сечения упругого рассеяния отрицательно заряженных пионов на ядрах ${}^4\text{He}$ в области малых переданных квадратов четырехмерных импульсов $0,006 \leq |t| \leq 0,087$ и $0,006 \leq |t| \leq 0,046$ ($\text{ГэВ}/\text{с}$)² при 3,48 и 6,13 ГэВ/с с абсолютной точностью 3% и 14% соответственно.

3. Определены полное сечение σ_{tot}^{el} и параметр наклона B амплитуды упругого $\pi^- {}^4\text{He}$ -рассеяния при 3,48 ГэВ/с: $\sigma_{tot}^{el} = (20,2 \pm 1,8) \text{ мб}$, $B = (27,9 \pm 2,0) (\text{ГэВ}/\text{с})^{-2}$. Определен эквивалентный радиус ядра ${}^4\text{He}$, величина которого $R_e = (2,08 \pm 0,07) F$ находится в хорошем соответствии с данными экспериментов по рассеянию электронов на ядрах. Величина полученной ошибки соизмерима с погрешностями в опытах с электронами. Соответствие величин эквивалентного радиуса, полученных в экспериментах двух типов, свидетельствует об одинаковом распределении в ядре плотности вещества и заряда.

4. Установлено, что полученные угловые распределения и полное сечение упругого $\pi^- {}^4\text{He}$ -рассеяния находятся в хорошем согласии с теорией Глаубера.

5. Впервые в области малых переданных импульсов определен параметр наклона бесспиновой части амплитуды упругого πN -рассеяния $b = (6,41 \pm 2,09) (\text{ГэВ}/\text{с})^{-2}$ при 3,48 ГэВ/с. Полученная величина согласуется в пределах ошибок с моделью Лазинского и др.^{/16/} и трехполюсной реджевской моделью^{/17/}.

В диссертации указывается на важность проведения цикла экспериментов, включающего в себя опыты по рассеянию пионов на ядрах, с целью комплексного изучения свойств амплитуды упругого πN -рассеяния.

Л И Т Е Р А Т У Р А

1. A.A.Nomofilov, I.M.Sitnik, L.A.Slepets, L.N.Strunov. Third International Conference on High Energy Physics and Nuclear Structure , New-York, September, 1969, p.527.
2. A.A.Nomofilov, I.M.Sitnik, L.A.Slepets, L.N.Strunov. XY-th International Conference on High Energy Physics, Kiev, 1970, Abstracts of Contributions, v.I (1970), I4.
3. А.А.Номофи́лов, И.М.Ситни́к, Л.А.Слепе́ц, Л.Н.Струно́в. ЯФ, I8 (1973), 364; прэпринт ОИЯИ ЕI-7024, Дубна, 1973.
4. Н.Н.Говорун, И.В.Попова, Л.А.Смирнова, Т.В.Рыльцева, В.А.Никитин, А.А.Номофи́лов, В.А.Свиридов, Л.А.Слепе́ц, И.М.Ситни́к, Л.Н.Струно́в. Прэпринт ОИЯИ 2036, Дубна, 1965; ПТЭ, 4 (1966), 44.
5. R.J.Glauber. Lecture in Theoretical Physics, ed W.E.Brittin et.al. (Interscience Publishers Inc, N.Y., 1959).
6. B.Gobbi et.al. Phys.Rev.Lett., 29 (1972), I278.
7. F.Bradamante et.al. Phys.Lett., 31B (1970), 87; F.Bradamante et.al. Nucl.Phys. B33 (1971), I65; M.Fellinger et.al. Phys.Rev. Lett., 22 (1969), I26.
8. J.Combe et.al. Nuovo Cim., 3A (1971), 663 .
9. T.Ekelof et.al. Nucl.Phys. B35 (1971), 493.
10. Основные формулы физики , под редакцией Д.Мензела, ИЛ, Москва, 1957, стр. 460.
- II. C.F.Williamson et.al. Tables of Ranges and Stopping Power of Chemical Elements for Charged Particles of Energy 0.05 to 500 MeV , Rapport CEA-R 3042, Sacley, 1966.
12. A.Nomofilov, I.Sitnik, L.Slepets, L.Strunov, L.Zolin. Phys. Lett., 22 (1966), 350;
А.Номофи́лов, И.Ситни́к, Л.Слепе́ц, Л.Струно́в. ЖЭТФ, Письма в редакцию, 6 (1967), 546.
13. R.Hofstadter. Rev.Mod.Phys., 28 (1956), 214.
14. В.С.Барашенков, В.Л.Тонеев. Взаимодействие высокозенергетических частиц и атомных ядер с ядрами .Москва, Атомиздат, 1972.
15. W.Czyz, L.Lesniak. Phys.Lett., 24B (1967), 227.
16. T.Lasinski et.al. Nucl.Phys. B37 (1972), I; Phys.Rev. I79 (1969), I426.
17. C.B.Chu, R.J.N.Phillips, W.Rarita. Phys.Rev., I53 (1967), I485.
18. I.Ambats et.al. Phys.Rev.Lett. 29 (1972), I415 .
19. K.J.Foley et.al. Phys.Rev. I8I (1969), I775; Phys.Rev.Lett., II (1968), 425.
20. G.Höhler. Binary Reactions of Hadron at High Energy (Proceedings of the International Seminar, D-6004 (1971) 652); G.Höhler, Standenmair, TRP I9/72, Karlsruhe (1972).
21. A.N.Diddens. Proceedings of the XYII International Conference on High Energy Physics, London (1974), I-4I.

Рукопись поступила в издательский отдел
2 апреля 1975 г.